

УДК 537.312.62

© 1992

## ГИБРИДИЗАЦИОННЫЕ ОСОБЕННОСТИ ПЛОТНОСТИ СОСТОЯНИЙ СВЕРХПРОВОДЯЩИХ СОЕДИНЕНИЙ $Y_{1-x}Pr_xBa_2Cu_3O_{7-\delta}$

Л. М. Носкова

Получено аналитическое выражение для плотности состояний  $g(\varepsilon)$  гибридизованных  $Cu-3d$ ,  $O-2p$ - и  $Pr-4f$ -уровней в сверхпроводниках  $Y_{1-x}Pr_xBa_2Cu_3O_{7-\delta}$ . Показано, что при определенных условиях участие  $f$ -уровня  $Pr$  в гибридизации может приводить к резким изменениям характера кривой  $g(\varepsilon)$  вблизи уровня Ферми, а следовательно, и физических свойств этих соединений.

Известно, что увеличение концентрации  $Pr$  в сверхпроводниках (СП)  $Y_{1-x}R_xBa_2Cu_3O_{7-\delta}$ ,  $R = Pr$  приводит к подавлению сверхпроводимости при  $x \approx 0.5$ , в то время как другие редкоземельные элементы практически не влияют на СП в этих веществах. Анализ большого количества экспериментов по изучению различных физических свойств соединений с  $Pr$  показывает, что валентность  $Pr$ , по-видимому, близка к трем, как и для других  $R$ . Однако помимо влияния  $Pr$  на СП свойства наблюдаются аномальный по сравнению с другими  $R$  характер изменения с концентрацией, температурой и давлением таких характеристик, как  $d\rho/dT$  [1],  $d\rho/dp$  и  $dT_c/dp$  [2], а также огромный скачок величины коэффициента электронной теплоемкости  $\gamma$  от 33 при  $x = 0$  [3] до  $\sim 260$  мДж/моль·К<sup>2</sup> при  $x = 1$  [4], не характерный для соединений с другими  $R$ . Существенные различия появляются и в фотоэмиссионных спектрах [5]. На основании этих фактов делается вывод о значительных изменениях в электронной структуре и форме кривой плотности состояний  $Y_{1-x}Pr_xBa_2Cu_3O_{7-\delta}$ , происходящих при постепенной замене  $Y$  на  $Pr$ . В качестве одной из возможных причин особого характера влияния  $Pr$  на свойства этих соединений выдвигается большая, чем у других  $R$ , способность  $4f$ -уровня  $Pr$  к гибридизации с полосой проводимости в плоскости  $Cu-O_2$ .

В работе [6] указывается на важную роль такого фактора, как расстояние между уровнем Ферми  $\varepsilon_F$  и положением  $4f$ -уровня  $\varepsilon_f$  в зонной картине. По данным фотоэмиссии, в соединениях  $RBa_2Cu_3O_{7-\delta}$   $4f$ -уровень для  $R = Gd$  лежит на 6–10 эВ ниже  $\varepsilon_F$ , для  $R = Nd$  – на 3–5 эВ, а для  $R = Pr$  это расстояние, как предполагают, еще меньше. Параметр гибридизации  $\lambda \sim b_{kf}/\Delta$ , где  $\Delta = \varepsilon_F - \varepsilon_f$ ,  $b_{kf}$  – матричный элемент, характеризующий смешивание состояний, для  $R = Pr$  относительно велик. Как отмечено в [6], в различных СП соединениях  $Pr$  ведет себя по-разному. Если в  $Y_{1-x}Pr_xBa_2Cu_3O_{7-\delta}$  и  $La_{1-x}Pr_xCaBaCu_3O_{7-\delta}$  добавление  $Pr$  приводит к подавлению СП уже при  $x = 0.5$  и 0.6 соответственно, то в  $Bi_2Sr_{2-x}Pr_xCuO_6$  и ряде других соединений  $T_c(x)$  лишь плавно уменьшается с  $x$  вплоть до  $x = 1$ , а в некоторых случаях даже несколько увеличивается. Авторы [6] связывают это различие с фактором  $\Delta$ , приводя обоснование, что влияние  $Pr$  на  $T_c$  слабее там, где  $\Delta$  велико. Изменения в электронной структуре СП соединений под влиянием  $Pr$  способствуют подавлению СП, усиливая  $s-f$  обменное взаимодействие, препятствующее спариванию носителей [1], или по

другой версии [6] приводя к возникновению поляронов малого радиуса, не способных образовывать пары.

Трудно, однако, представить, что различие между веществами столь разного состава сводится в основном к одной характеристике  $\Delta$ . Для выяснения характера изменений в электронной структуре СП соединений и совокупности определяющих их факторов был бы полезен аналитический расчет того вклада в  $g(\epsilon)$ , который наиболее сильно меняется в результате гибридизации состояний меди, кислорода и празеодима.

По существующим представлениям полоса проводимости СП типа  $\text{YBa}_2\text{Cu}_3\text{O}_{7-\delta}$  в плоскостях  $\text{Cu}-\text{O}_2$  формируется за счет перекрытия двумерных орбиталей  $d_x^2 - y^2$  меди и  $P_{xy}$  кислорода, возникающих при расщеплении  $\text{Cu}-3d$ - и  $\text{O}-2p$ -уровней в кристаллическом поле тетрагональной симметрии. В результате образуются две подполосы с энергиями [7]

$$2\epsilon_k^\pm = c \pm \sqrt{c^2 + 4t_k^2}, \quad (1)$$

безразмерными, выраженными в единицах  $t^{-1}$ . Здесь  $t$  — интеграл переноса,  $c = \epsilon_d - \epsilon_p/t$ ,  $t_k^2 = \cos^2 k_x a/2 + \cos^2 k_y a/2$ ,  $\epsilon_p$  и  $\epsilon_d$  — энергии исходных  $p$ - и  $d$ -уровней.

Вычислим плотность состояния  $g_0(\epsilon)$ , соответствующую энергиям (1), представив ее в виде безразмерной величины  $g_0 t$  в функции параметра  $\epsilon(t^{-1})$ . В двумерном случае

$$g(\epsilon) = 2a^2 \int dl / |grad \epsilon_k^\pm|,$$

где  $a$  — параметр решетки,  $dl$  — элемент дуги в плоскости ( $K_x$ ,  $K_y$ ), а интегрирование проводится по линии равной энергии  $\epsilon_k = \epsilon$ . В нашем случае это дает

$$\pi^2 g_0 t = |2\epsilon - c| I(A_0) \delta(\epsilon - \epsilon_k^\pm), \quad (2)$$

где

$$I(A_0) = \int_0^1 \frac{dx}{\sqrt{x(1-x)(A_0-x)(1-A_0+x)}},$$
$$A_0 = \epsilon(c - \epsilon), \quad (3)$$

что аналогично результату, полученному в работе [8]. Плотности состояний (2) при  $c = 0$  и  $c = -0.37$  изображены на рис. 1. За начало отсчета принята энергия  $\epsilon_p = 0$ . Кривые  $g_0 t(\epsilon)$  имеют особенности при  $A_0 = 1$  (на границах зоны). Область существования действительных значений  $I(A_0)$ ,  $0 < A_0 < 2$  ограничивает размеры фигур справа и слева. Площадь под кривыми  $g_0(\epsilon)$  соответствует числу частиц, равному двум (с учетом вырождения по спину).

В дальнейшем будем исходить из следующих предположений: суммарная плотность состояний СП состоит из вклада (2) от двумерной структуры  $\text{Cu}-\text{O}_2$  и неизвестного нам фона, составленного из вкладов от остальных атомов. Наиболее сильно меняется  $g(\epsilon)$  за счет изменения структуры полосы проводимости в плоскости  $\text{Cu}-\text{O}_2$  при гибридизации уровней  $\epsilon_k^\pm$  (1) с  $4f$ -уровнем Pr и соответственно вклада  $g_0 t$  (2). Остальную часть  $g(\epsilon)$  будем считать практически неизменной. Согласно зонным расчетам [9], вклад  $g_0 t$  от  $\text{Cu}-\text{O}_2$  в  $\text{YBa}_2\text{Cu}_3\text{O}_{7-\delta}$  располагается вблизи уровня Ферми. Об этом же говорит факт сильного изменения электронных свойств при замещении Y на Pr: меняются характеристики, зависящие от величины плотности состояний на уровне Ферми и структуры

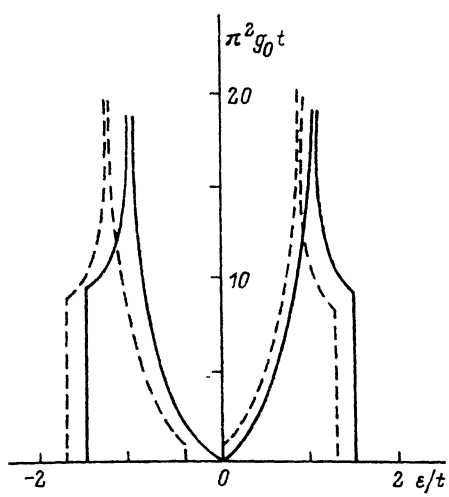


Рис. 1. Вклады в плотность состояний СП от плоскости Cu—O<sub>2</sub>, вычисленные по формуле (2) при  $c = 0$  (сплошная линия) и  $c = -0.37$  (штриховая линия).

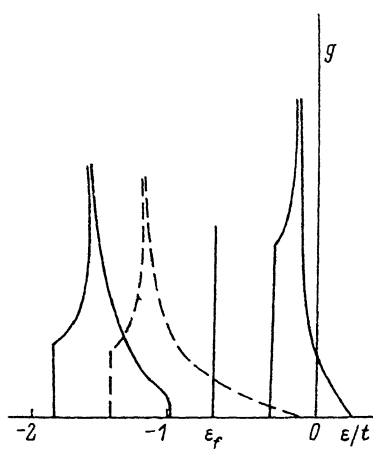


Рис. 2. Схематическое изображение характера изменений в  $g(\epsilon)$  при гибридизации энергий  $\epsilon_k^-$  (1) с Pr—4f-уровнем  $\epsilon_f$ .

Сплошные кривые соответствуют формулам (5), штриховая кривая —  $g_0(\epsilon)$  для Cu—O<sub>2</sub>.

кривой  $g(\epsilon)$  в области ее теплового размытия  $\sim kT$ . Чтобы не усложнять задачу, ограничимся случаем гибридизации 4f-уровня Pr,  $\epsilon_f$  с нижней ветвью  $\epsilon_k^-$  (1). Будем предполагать, что  $\epsilon_k^-$  и  $\epsilon_f$  расположены ниже  $\epsilon_F$ , а  $\epsilon_k^+$  достаточно далека от них и эффект от ее участия в гибридизации существенно меньше.

После гибридизации уровня  $\epsilon_f$  и полосы  $\epsilon_k^-$  с энергетическим параметром  $V$  возникают две новые ветви с энергиями

$$2E^{\beta-} = \epsilon_f + \epsilon_k^- \pm \sqrt{(\epsilon_f - \epsilon_k^-)^2 + 4V^2}, \quad \beta = +, -. \quad (4)$$

Им отвечают плотности состояний

$$\begin{aligned} \pi^2 g^{-}t &= 2 \frac{|2\alpha - c|}{1 + \Phi} I(A) \delta(\epsilon - E^{-}), \\ \pi^2 g^{+}t &= 2 \frac{|2\alpha - c|}{1 - \Phi} I(A) \delta(\epsilon - E^{+}), \end{aligned} \quad (5)$$

где

$$\begin{aligned} \alpha &= \epsilon - \frac{V^2}{\epsilon - \epsilon_f}, \\ A &= \alpha(\alpha - c), \\ \Phi &= \frac{1}{\sqrt{1 + P}}, \\ P &= \frac{4V^2}{(\epsilon_f - \alpha)^2} \end{aligned} \quad (6)$$

(все энергии, по-прежнему, в единицах  $t^{-1}$ ),  $\delta$ -символы в (5) означают, что каждая из формул действует в том интервале энергий, где определена соответствующая ветвь  $E^{\beta-}$ . Формулы (6) полезно также переписать в виде

$$\alpha = \frac{c}{2} \pm \sqrt{\frac{c^2}{4} + A},$$

$$\varepsilon - \varepsilon_f = \frac{\alpha - \varepsilon_f}{2} \pm \sqrt{\frac{(\alpha - \varepsilon_f)^2}{4} + V^2}.$$

(7)

Схематически изменение  $g(\varepsilon)$  при гибридизации  $\varepsilon_k^-$  с  $4f$ -уровнем Pr представлено на рис. 2. Вместо исходной  $g_0(\varepsilon) t$  (штриховая линия) возникают два пика, суммарная емкость которых вдвое превосходит число состояний, входящих в  $g_0$ . Положения особенностей определяются уравнениями (7) при  $A = 1$ . Форма, ширина и положение новых структур задаются набором параметров  $\{c, V, \varepsilon_f\}$  в единицах  $t^{-1}$ , а их влияние на суммарную  $g(\varepsilon)$  и физические свойства СП соединений — положением относительно уровня Ферми. Так как  $g_0(\varepsilon)$  (3) и  $g(\varepsilon)$  (5) составляют лишь часть общей  $g(\varepsilon)$ , положение  $\varepsilon_F$  и его смещение при появлении новых гибридизационных пиков мы определить не можем. Ясно, что если все эти измерения происходят достаточно глубоко под уровнем Ферми,  $g_0(\varepsilon_F)$  сместится по склону структуры, составляющей фон. Но наиболее сильных изменений формы кривой  $g(\varepsilon)$  вблизи  $\varepsilon_F$  можно ожидать в том случае, если при  $x = 0$   $\varepsilon_F^0$  находилась в области малых значений  $g_0(\varepsilon)$ , а при  $x = 1$  в окрестности нового уровня Ферми окажется высокий и крутой пик  $g(\varepsilon)$ , что изменит как величину  $g(\varepsilon_F)$ , так и ее наклон  $dg/d\varepsilon$ , влияющий на температурные зависимости электронных свойств СП.

Для осуществления такого варианта требуется определенный набор параметров  $\{c, V, \varepsilon_F^0, \varepsilon_f, t\}$ . Так как число их велико и количество возможных вариаций огромно, попытаемся в какой-то мере привязаться к известным экспериментальным данным. Согласно работе [5], характер фотоэмиссионных спектров соединений  $Y_{1-x}Pr_xBa_2Cu_3O_{7-\delta}$  при  $x = 0.2, 0.4, \dots, 1$  подтверждает трехвалентность Pr в этом случае. Выделенный вклад в спектры от  $4f$ -состояний Pr представляет собой широкую асимметричную линию, захватывающую область расположения Cu— $3d$ , O— $2p$ -линий, что говорит о сильной гибридизации этих состояний. Два пика, находящихся ниже  $\varepsilon_F$  на расстояниях  $\varepsilon_1 = -5$  эВ и  $\varepsilon_2 = -1.2$  эВ, считаются происходящими от эмиссии из Cu— $3d$ , O— $2p$ - и Pr— $4f$ -состояний. Будем в дальнейшем отождествлять их с пиками на рис. 2, полученными в результате гибридизации с Pr— $4f$ . В реальном веществе многие факторы приводят к размытию пиков  $g(\varepsilon)$ . Поэтому форма и ширина фотоэмиссионных пиков не пригодны для прямого сравнения с расчетными. В какой-то мере можно сравнивать лишь положения пиков. В расчете они задаются формулами (7) при  $A = 1$ . Экспериментально определяется расстояние между пиком и уровнем Ферми при данном  $x$ . Так как  $\varepsilon_F$  смещается при изменении  $x$  и величина этого смещения нам неизвестна, будем пользоваться лишь разностью положений пиков  $\varepsilon_1 - \varepsilon_2$ , согласно [5] не зависящей от  $x$ . Допустим, что при  $x = 0$   $4f$ -уровень Pr находится на расстоянии  $\varepsilon_F = -2$  эВ от  $\varepsilon_F^0$  ( $x = 0$ ). Зададим также величину отношения  $\varepsilon_F$  к интегралу переноса  $\varepsilon_F/t = -0.7$ , откуда получим  $t \approx 2.86$  эВ. В формулах (7) за начало отсчета принималось положение  $p$ -уровня кислорода, что при использовании разности  $\varepsilon_1 - \varepsilon_2$  не имеет значения. Применяя формулы (7) и вспомогательные графики зависимостей  $\varepsilon_k^\pm(\alpha)$  и  $c(\alpha)$ , можно установить, что значительные изменения в структуре кривой  $g(\varepsilon)$  вблизи  $\varepsilon_F$  в результате гибридизации возникнут в области небольших отрицательных значений величины  $c$  и при значениях  $\alpha$  ( $A = 1$ ) вблизи  $-1$ . Величина безразмерного параметра  $V$  оказывается равной приблизительно 0.5 и слабо меняется при изменении  $\alpha$  и  $c$ . Возможны, например, такие наборы параметров:  $\{\alpha = -1, c = 0, V = 0.45\}$  или  $\{\alpha = -1.2, c = -0.37, V = 0.51\}$ . Кривые  $g(\varepsilon)t$  для этих значений параметров

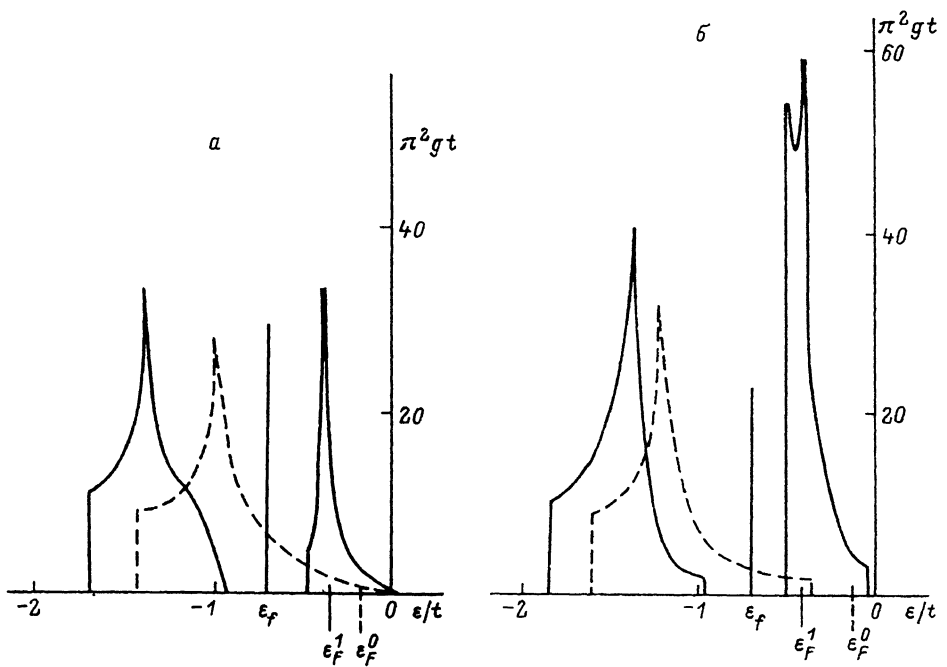


Рис. 3. Плотность состояний гибридизированных Cu—3d-, O—2p- и Pr—4f-уровней.  
Значения параметров:  $c = 0$ ,  $V = 0.45$ ,  $\epsilon_f/t = 0.7$  (а),  $c = -0.37$ ,  $V = 0.51$ ,  $\epsilon_f/t = 0.7$  (б).

изображены на рис. 3, а, б соответственно. Они представляют собой вклад в полную  $g(\epsilon)$  соединений  $\text{PrBa}_2\text{Cu}_3\text{O}_{7-\delta}$  от гибридизированных Cu—3d-, O—2p- и Pr—4f-состояний. По данным зонных расчетов, для  $\text{YBa}_2\text{Cu}_3\text{O}_{7-\delta}$  уровень Ферми  $\epsilon_F^0$  ( $x = 0$ ) близок к  $\epsilon_p$ , а вклад в плотность состояний от плоскостей Cu—O<sub>2</sub> в окрестности  $\epsilon_F^0$  очень мал. Предположим, что исходный уровень Ферми находится в точке  $\epsilon_F^0$  на рис. 3, а. При тех значениях параметров, которыми мы задались, в этой области значений  $\epsilon/t$  в результате гибридизации с Pr—4f-состояниями возникает высокий пик  $g(\epsilon)$ . Если смещение  $\epsilon_F$  при добавлении Pr произойдет в пределах ширины этого пика, например в положении  $\epsilon_F^1$  ( $x = 1$ ), возможно резкое увеличение  $g(\epsilon_F)$ . Судить о действительной величине смещения  $\epsilon_F$  мы не можем, так как для этого необходимо знать полную  $g(\epsilon)$ .

Приведенные примеры свидетельствуют о том, что в каждом конкретном веществе влияние Pr на структуру  $g(\epsilon)$  определяется большим набором параметров. Не менее важную роль, чем отмеченный в [6] фактор  $\Delta$ , играет и параметр  $c = \epsilon_d - \epsilon_p$ , от которого зависит положение пиков на оси  $\epsilon/t$ . На ширину пиков оказывает большое влияние параметр  $V$ , а интеграл переноса  $t$  определяет энергетический интервал, в котором существуют новые пики  $g(\epsilon)$ . В целом же весь набор параметров имеет значение для установления области определения и формы гибридизационных особенностей на кривой  $g(\epsilon)$ . Как показано выше, возможны такие сочетания параметров  $\{c, t, V, \Delta\}$ , при которых форма кривой  $g(\epsilon)$  вблизи  $\epsilon_F$  резко меняется за счет гибридизации Cu—3d-, O—2p- и Pr—4f-состояний, что ведет к изменению физических свойств соединений типа  $\text{Y}_{1-x}\text{Pr}_x\text{Ba}_2\text{Cu}_3\text{O}_{7-\delta}$ . Если обратиться к схематическому изображению на рис. 2 изменений  $g(\epsilon)$  в результате гибридизации, то сочетание параметров должно быть таким, чтобы уровень Ферми  $\epsilon_F^0$  ( $x = 0$ ) находился справа от пика  $g_0(\epsilon)$  и вблизи края этой фигуры,  $\epsilon_F$  располагался левее  $\epsilon_F^0$ .

Желательно, чтобы правый пик  $g(\epsilon)$ , возникший после гибридизации с  $\text{Pr}-4f$ -уровнем, был узким и высоким, что предполагает не очень большие значения параметра  $V$ . Интеграл переноса  $t$  не должен противоречить величине энергетического интервала, в котором наблюдается вклад в фотоэмиссионные спектры от  $\text{Cu}-\text{O}_2$ -плоскостей. Но вполне осуществимы и такие случаи, когда гибридизуемые энергии находятся выше  $\epsilon_F$ , или параметры таковы, что возникающие гибридизационные пики в  $g(\epsilon)$  не попадают в близкую окрестность  $\epsilon_F$  и резкого изменения физических свойств вещества не происходит. Расстояние  $\Delta$  является при этом важным, но далеко не единственным фактором, определяющим ситуацию в конкретном соединении.

В соединениях  $\text{Y}_{1-x}\text{Pr}_x\text{Ba}_2\text{Cu}_3\text{O}_{7-\delta}$ , как и в системах  $\text{La}_{2-x}\text{Sr}_x\text{CuO}_4$ ,  $\text{YBa}_2\text{Cu}_3\text{O}_{7-\delta}$ , в зависимости от  $x$  и  $\delta$  наблюдается антикорреляция магнитного порядка и сверхпроводимости с той разницей, что в данном случае при  $x > 0.5$  речь идет о низкотемпературном антиферромагнетизме, связанном с присутствием  $\text{Pr}$ , а не с упорядочением Си-подрешетки при значительно более высоких  $T$ . Так как ясности в вопросе о механизме СП в подобных системах в данный момент нет, можно лишь отметить, что рост  $g(\epsilon_F)$ , сопровождающийся падением  $T_c$  при увеличении  $x$  в  $\text{Y}_{1-x}\text{Pr}_x\text{Ba}_2\text{Cu}_3\text{O}_{7-\delta}$ , является, по-видимому, еще одним аргументом, кроме отмеченных в [10], против фононного механизма спаривания носителей. Для СП систем с La и Y—Ba при больших  $\delta$  существует достаточное экспериментальное обоснование наличия высокозергетических магнитных флуктуаций двумерного характера с большими длинами корреляции [10, 11]. Предполагается, что через них может осуществляться спаривание носителей. Явная взаимосвязь между сверхпроводимостью и антиферромагнетизмом в соединениях с  $\text{Pr}$  показывает, что этот механизм может играть роль и в данном случае. Характер антиферромагнетизма в соединениях с  $\text{Pr}$  изучен недостаточно. Неясно, существует ли локализованный момент на ионе  $\text{Pr}$  или при высокой степени гибридизации  $\text{Pr} - 4f$ -уровней магнетизм имеет зонное происхождение. Если момент на  $\text{Pr}$  отсутствует, подавление СП празеодимом как парамагнитной примесью исключается. Окончательно вопрос о роли  $\text{Pr}$  может быть решен на основе более подробных экспериментальных исследований.

### Список литературы

- [1] Infante C., El Moysly M. K., Dayal R., Husain M., Siddiqi S. A., Ganguly P. // Physica C. 1990. V. 167. N 5/6. P. 640—656.
- [2] Neumeier J. J., Maple M. B., Torikachvili M. S. // Physica C. 1988. V. 156. N 4. P. 574—578.
- [3] Van der Meulen H. P., Franse J. J. M., Tarnawski Z., Kadawaki K., Klasse J. C. P., Menovsky A. A. // Physica C. 1988. V. 152. N 1. P. 67—71.
- [4] Maple M. B., Ferreira J. M., Hake R. R., Lee B. W., Neumeier J. J., Seaman C. L., Yang K. N., Zhou H. // J. Less. Com. Met. 1988. V. 149. P. 405—425.
- [5] Kang J. S., Allem J. W., Shen Z. X., Ellis W. P., Yeh J. J., Lee B. W., Maple M. P., Spicer W. H., Lindau L. // J. Less. Comm. Met. 1989. V. 148. P. 121—132.
- [6] Tang X. X., Mantheiram A., Goodinough J. B. // Physica C. 1989. V. 161. N 5/6. P. 574—580.
- [7] Jorgensen J. D., Schüttler H. B., Hines D. G., Capone D. W., Zhang H. K., Brodsky M. B., Scalapino D. J. // Phys. Rev. Lett. 1987. V. 58. N 10. P. 1024—1027.
- [8] Ellialtioglu S., Wolfram T. // Phys. Rev. B. 1977. V. 15. N 12. P. 5901—5911.
- [9] Guo G. Y., Temmerman W. H. // Phys. Rev. B. 1990. V. 41. N 10. P. 6372—6378.
- [10] Изюмов Ю. А., Плакиды Н. Н., Скрябин Ю. Н. // УФН. 1989. Т. 159. № 4. С. 621—664.
- [11] Miljak M., Collin G., Hamzic A., Zlatic T. // Europhys. Lett. 1989. V. 9. N 7. P. 723—728.

Институт физики металлов УрО РАН  
Екатеринбург

Поступило в Редакцию  
26 февраля 1990 г.  
В окончательной редакции  
6 июля 1992 г.